УДК 624.131

## СОВЕРШЕНСТВОВАНИЕ КОНСТРУКЦИЙ И УВЕЛИЧЕНИЕ НЕСУЩЕЙ СПОСОБНОСТИ ОСНОВАНИЙ АНКЕРОВ

Канд. техн. наук, доц. НИКИТЕНКО М. И., канд. техн. наук ПОВКОЛАС К. Э., инженеры АРХАНГЕЛЬСКАЯ Т. М., РОГОВЕНКО В. В.

Белорусский национальный технический университет

Испытания рабочих анкеров на первом ярусе крепления ограждения котлована станции «Раковская» Минского метро выявили недостаточную их несущую способность при выполнении по обычной технологии с бурением скважин без обсадных труб и инъекцией через инъекционные трубки. Грунт в основании анкеров представлен суглинками с консистенцией, изменявшейся от тугопластичной у устья скважины до текучепластичной у ее конца. Анкеры имели тяги из арматуры класса АШ диаметром 36 мм с общими длиной 14,5 м и корнями 6 м. Испытания и раскопка пробных анкеров выявили недостатки данной технологии. На малые значения несущей способности анкеров и прочности цементного

камня корня повлияла высокая пластичность глинистого грунта без дренирования из него избыточной влаги. В связи с оплыванием грунта в скважине не удалось создать полноценной обоймы, поэтому инъекция раствора привела к образованию радиальных шипов и уширений, не связанных конструктивно с тягой анкера. В ряде случаев имело место частичное сцепление корня с тягой, о чем свидетельствует хрупкий характер снижения сопротивления у нескольких анкеров в процессе их натяжения.

Даже при создании полноценной обоймы у менее влажных суглинков закачиваемый раствор в основном объеме идет на создание «радиальных шипов» и уширений (рис. 1в). Такие шипы

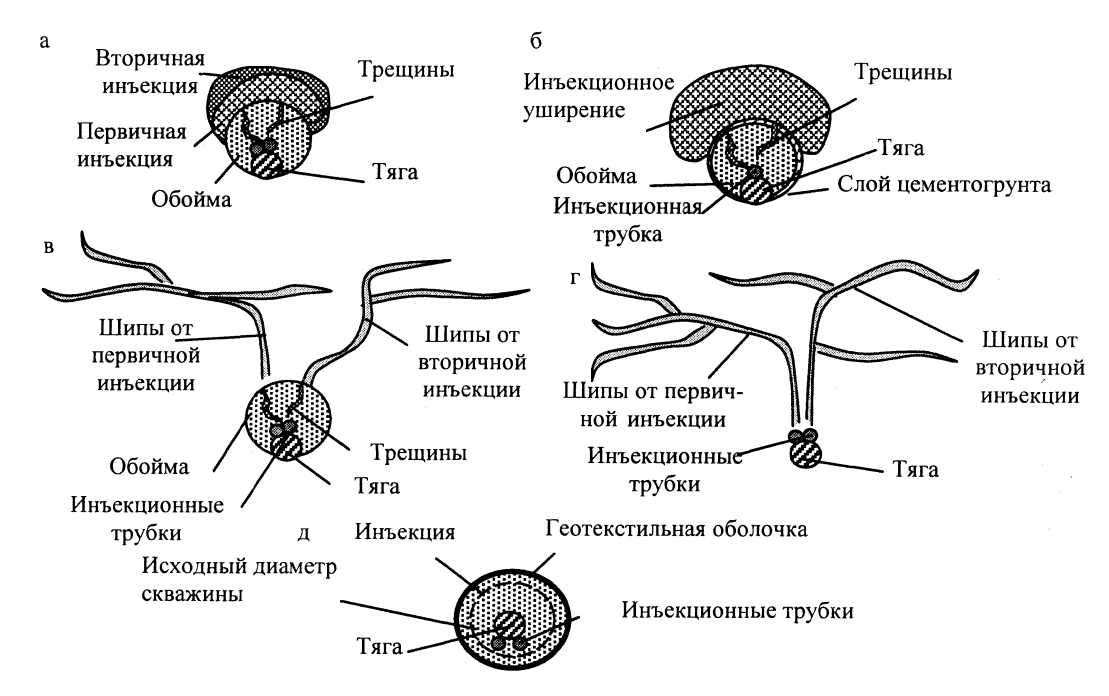


Рис. 1. Характерные поперечные сечения корней временных анкеров с тягой из одного стержня и инъекцией посредством инвентарных трубок с перфорацией: а – в плотных и средней плотности песках при инъекции по всей поверхности корня; б – то же при выходе раствора через одно отверстие и формировании местного уширения; в – в мягкопластичных и текучепластичных суглинках и глинах; г – в твердых, полутвердых и тугопластичных суглинках и глинах; д – независимо от вида грунта при наличии геотекстильной оболочки

Вестник БГПА, № 3, 2002

имеют незначительную площадь контакта с тампонажной обоймой в скважине и откалываются от нее при нагружении анкера. Осуществляемая таким образом инъекция не позволяет сформировать требуемую геометрию корня анкера и достигнуть необходимой несущей способности в силу отсутствия опрессовки окружающего грунта. Несущая способность анкеров при использовании данной несовершенной технологии их устройства и конструктивного исполнения определяется только качеством заполнения раствором полости скважины.

Устройство анкеров при такой же упрощенной технологии в песчаных грунтах способствует значительному смещению тяги вниз относительно оси поперечного сечения корня (рис. 1а), что приводит к коррозии тяги за счет контакта с грунтом.

Приведенная форма поперечного сечения характерна при устройстве анкеров в песках средней крупности и крупных. Это можно объяснить четко выраженной анизотропией окружающего массива грунта и направленностью энергии раствора на поднятие вышележащего слоя грунта.

Кроме того, инъекция раствора через перфорированную инъекционную трубку, отверстия которой перекрыты резиновыми манжетами, зачастую приводит к выходу раствора только через одно отверстие и формированию местного уширения над цементной обоймой на данном участке. Нагружение анкера с таким корнем приводит к возникновению концентрации напряжений и срыву по поверхности контакта инъекционного уширения с цементной обоймой (площадью 0,2...0,3 м²), которая представляет собой цементогрунтовый слой с гораздо более низкими прочностными характеристиками, чем цементный камень.

Формирование корня инъекцией через обсадные трубы не исключает образования «радиальных шипов» и оплывания стенок наклонной скважины после извлечения труб.

Для устранения перечисленных выше недостатков устройства анкеров сотрудники кафедры «Геотехника и экология в строительстве» предложили использовать разработанную М. И. Никитенко конструкцию буроинъекционного анкера по а. с. № 1392203 с формированием корня в геотекстильной оболочке (рис. 2).

Анкеры этой конструкции были впервые применены в г. Минске на станции метро «Раковская».

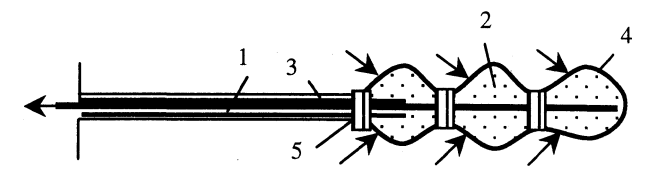


Рис. 2. Конструкция анкера с геотекстильной оболочкой: 1 – тяга; 2 – корень; 3 – защитная пластиковая оболочка; 4 – геотекстильная оболочка; 5 – проволочные скрутки

За счет совершенствования конструкции анкера при упрощении технологии его выполнения удалось достичь снижения расхода раствора в 2 раза и значительно (в 1,4...10 раз) увеличить его несущую способность. Средний объем закачанного в скважину раствора в случае анкеров с геотекстильной оболочкой составил 291 л, а для обычных анкеров – 450 л.

Все анкеры испытывали через 30 дней после их устройства.

В табл. 1 приводятся величины максимальных испытательных и критических (при полном исчерпании несущей способности грунта и появлении незатухающих перемещений) нагрузок для анкеров с геотекстильными оболочками и без них.

Таблица 1

Тип анкера	№ анкера	Критическая нагрузка, кН (максимальная испытательная нагрузка)
С геотек- стильной оболочкой	1*	271
	2*	Не выявлена (300)
	3*	277
	4*	Не выявлена (300)
	5*	Не выявлена (300)
	6*	Не выявлена (300)
Без геотек- стильной оболочки	1	36
	2	73
	3	182
	4	136
	5	200
	6	109

Из приведенных данных следует, что критическая нагрузка у анкеров № 1\*, 3\* с применением геотекстильной оболочки существенно выше, чем у традиционных без нее.

У анкеров № 2\*, 4\*, 5\*, 6\* с геотекстильной оболочкой несущая способность грунта не была достигнута, а испытательная нагрузка ограничивалась прочностью тяги на разрыв, т. е. по 300 кН.

Перемещение головы анкеров по а. с. № 1392203 гораздо меньше, чем у обычных при том же нагружении. Формирование уширений в корневой части не сопровождается возникновением разрывов в грунте, что позволяет повысить долю ее лобового сопротивления. При этом за счет геотекстиля значительно увеличивается стойкость цементного камня корня и металла тяги к агрессивному влиянию подземных вод и повышается их долговечность. Поэтому такие анкеры могут быть рекомендованы

даже для длительного крепления подпорных стенок.

Таким образом, наличие геотекстильной оболочки упрощает технологию выполнения буроинъекционных анкеров при сокращении расхода цемента и увеличении несущей способности. При этом процесс инъекции становится управляемым и контролируемым.

Рецензент канд. техн. наук, доц. СУХОДОЕВ В. Н.

УДК 621.6.015

## О ТЕРМИЧЕСКОМ ИСПЫТАНИИ ЧУВСТВИТЕЛЬНОСТИ КЕРАМИЧЕСКИХ МАСС К СУШКЕ

Докт. техн. наук, проф. ОСИПОВ С. Н., ИВАНОВСКИЙ И. К.

Белорусский национальный технический университет

Для получения высококачественных керамических изделий, к которым также относятся различные виды кирпичей пластического формования, необходимо правильно определять их чувствительность к сушке. Единственным прямым методом ее определения является метод А. Ф. Чижского, основанный на интенсивном нагреве поверхности образцов формовочных масс мощным лучистым потоком энергии, что обеспечивает более жесткий режим прогрева и сушки по сравнению с производственными условиями.

При этом чувствительность формовочных масс к сушке оценивается по величине времени до появления первой трещины или заметной деформации под воздействием мощного лучистого потока энергии ( $S \approx 0,7...1,0$  Вт/см<sup>2</sup>).

В период интенсивного нагрева поверхности образца, имеющего форму пластины, в связи с высокими температурными градиентами в глиняной массе начинается значительный термоградиентный перенос влаги, благодаря которому обезвоживаются поверхностные слои и образуется существенный перепад влагосодержания между поверхностью и тыльной изолированной частью образца. Последнее приводит к интенсивной усадке поверхностных слоев и образованию

трещин или иных явных признаков недопустимой деформации.

При высокой интенсивности облучения даже в первые 300 с (кроме нагрева) начинается испарение влаги с поверхности образца, что приводит к некоторому уменьшению воздействия теплового потока.

Как показывают наши эксперименты с лукомльской глиной и А. Ф. Чижского со спондиловой, температуры поверхностей образцов толщиной 2,0 и 1,6 см изменяются примерно одинаково по зависимости, близкой к обратной экспоненте. Если разность между конечной и начальной температурами нагрева поверхности образцов  $\Delta t_0$  имеет экспоненциальную форму вида

$$\frac{\Delta t}{\Delta t_0} = \exp(-\beta \tau), \qquad (1)$$

то после логарифмирования для определения коэффициента показателя экспоненты  $\beta$  [1/c] получаем

$$\ln\left(\frac{\Delta t}{\Delta t_0}\right) = -\beta \tau, \qquad (2)$$

где  $\Delta t_0$  – условная максимальная разность температур поверхности образца в начале и конце экс-

Вестник БГПА, № 3, 2002